

# 圧密の弾塑性数値解析に関する一定式化

徳島大学工学部 正 山上 拓男  
阿南工業高等専門学校 正 ○植田 康宏

## 1. まえがき

著者らは圧密現象を構成する2本の柱、すなわち間隙水圧の消散過程と粘土骨格の変形性状をそれぞれ独立に解析し、その間を浸透力が受け渡しする点に最大の特徴を有する新しい解析法を提案した。そして幾つかの解析例を通じて厳密解、他の数値解法と比較検討した結果提案した解法の妥当性が示された。しかし、その解法は粘土骨格を線形弾性体としたものであった。そこで本報ではより実際的な土の挙動を解析するため粘土骨格に対し弾塑性構成則を用いた定式化を試みるものである。

## 2. 応力-変形解析

粘土骨格の応力-ひずみ関係の非線形性を考慮するため著者らは Roscoe らのいわゆる Cambridge original theory と等価な太田の弾塑性構成式<sup>3)</sup>を用いた。

太田は飽和土の体積変化を圧縮による成分とダイレイタンシーによるものの2つに分けて考えた。まず、圧縮による間隙化の変化は

$$de_c = -\lambda \frac{d\sigma'_m}{\sigma'_m} \quad (\text{弾塑性状態}) \quad - (1) \quad de^E_c = -k \frac{d\sigma'_m}{\sigma'_m} \quad (\text{弾性状態}) \quad - (2)$$

ここで  $\lambda$  は正規圧密曲線の傾き、  $k$  は過圧密曲線の傾きを示す。

次にダイレイタンシーによる間隙化の変化は

$$de_d = \mp(1+e_0)\mu \left( \frac{d\sigma'_{oct}}{\sigma'_m} - \frac{\sigma'_{oct} d\sigma'_m}{\sigma'_m} \right) \quad (\text{弾塑性状態}) \quad - (3) \quad de^E_d = 0 \quad (\text{弾性状態}) \quad - (4)$$

ここに  $\mu$  はダイレイタンシー特性を表す定数。応力比  $\frac{\sigma'_{oct}}{\sigma'_m} = e_0$  で裏方圧密された試料では、ダイレイタンシーによる体積変化は載荷後の応力比がより大きくなる(主働状態)か小さくなる(従働状態)かで符号が異なり、式(3)のように、以下式中の複号は上側が主働状態、下側が従働状態を示すものとする。

太田は圧縮による体積変化とダイレイタンシーによるそれがお互いに独立であるとの仮定のもとに両者の微小成分の和をとることにより、次式で示される状態曲面の式を導びいた。

$$e = e_0 - \lambda \ln \frac{\sigma'_m}{\sigma'_{m0}} \mp (1+e_0)\mu \left( \frac{\sigma'_{oct}}{\sigma'_m} - k_0 \right) \quad (\text{弾塑性状態}) \quad - (5)$$

$$e = e_0 - k \ln \frac{\sigma'_m}{\sigma'_{m0}} \quad (\text{弾性状態}) \quad - (6)$$

ここに  $\sigma'_{m0}, e_0$  は積分定数

( $e, \sigma'_m, \sigma'_{oct}$ ) 空間で式(5), (6)で表わされる曲面の交線を  $(\sigma'_m, \sigma'_{oct})$  面に投影した曲線が降伏条件となり、次式でその降伏関数が与えられる。

$$f = \pm \left( \frac{\sigma'_{oct}}{\sigma'_m} - k_0 \right) + \frac{\lambda - k}{(1+e_0)\mu} \ln \frac{\sigma'_m}{\sigma'_{m0}} = 0 \quad - (7)$$

ここで  $\sigma'_{m0}$  は以下の平均主応力  $\sigma'_m$  と間隙化  $e$  に対する降伏位置を示す応力。

Fig.1 に式(5), (6)で表わされる状態曲面を図示する。

さて、式(7)で定められる降伏関数、associated flow rule, normality rule, そして定数  $\mu$  とポアソン比  $\nu$  から定められる非線形弾塑性応力-ひずみ関係を用いて弾塑性応力-ひずみ関係が最終的に次式のように得られる。

$$\{d\sigma\} = [D^{ep}] \{de\} \quad - (8)$$

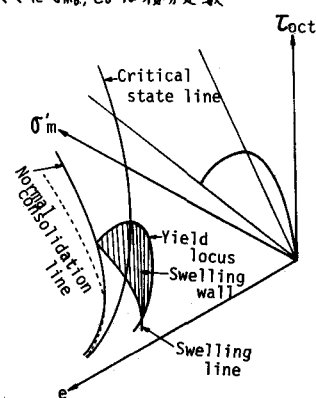


Fig.1 裏方圧密粘土の状態曲面

$$\text{ここで}, [D^e] = [D^e] - \frac{[D^e] \left\{ \frac{\partial f}{\partial e'} \right\} \left\{ \frac{\partial f}{\partial e'} \right\}^T [D^e]}{\left\{ \frac{\partial f}{\partial e'} \right\}^T [D^e] \left\{ \frac{\partial f}{\partial e'} \right\} - \frac{\partial f}{\partial P} \left\{ \frac{\partial P}{\partial e'} \right\} \left\{ \frac{\partial f}{\partial e'} \right\}} \quad -(9)$$

[ $D^e$ ]：非線形弾性応力-ひずみマトリックス，P：硬化パラメータ（今の場合  $\sigma'_m$ ）

結局粘土骨格の応力-変形解析は以下の要素が弾性状態にあるか、塑性状態にあるかを判定して、どちらかの应力-ひずみ関係を用いて行なえばよい。

### 3. 非定常浸透解析

間隙水圧の消散過程、つまり非定常浸透を支配する基礎式（2次元）は次式で表わされる。

$$\frac{\partial}{\partial x} \left( k_x \frac{\partial H}{\partial x} \right) + \frac{\partial}{\partial y} \left( k_y \frac{\partial H}{\partial y} \right) = - \frac{\partial \epsilon_w}{\partial t} \quad -(10)$$

( $\epsilon_w$ は骨格の体積ひずみで圧縮を正)

また、塑性状態にある土の体積ひずみ増分と弾性状態にあるそれはそれぞれ式(11), (13)と式(2), (4)を用いて、

$$\frac{\partial \epsilon_w}{\partial t} = \frac{(1+\epsilon_0)\mu}{1+\epsilon_i} \left[ \left| \frac{\lambda}{(1+\epsilon_0)\mu} + \frac{\tau_{act}}{\sigma_m} \right| \frac{1}{\sigma_m} \frac{\partial \sigma_m}{\partial t} + \frac{1}{\sigma_m} \frac{\partial \tau_{act}}{\partial t} \right] \quad (\text{塑性状態}) - (11) \quad \frac{\partial \epsilon_w}{\partial t} = \frac{k}{1+\epsilon_i} \frac{1}{\sigma_m} \frac{\partial \sigma_m}{\partial t} \quad (\text{弾性状態}) - (12)$$

ここに、 $\epsilon_i$ は初期間隙比と表わされる。

式(10)を解く場合、以下の要素が塑性状態か弾性状態かで右辺を式(11)もしくは式(12)で置きかえるわけであるが、いずれの場合も最終的には次式で示される形になる。

$$\frac{\partial}{\partial x} \left( k_x \frac{\partial H}{\partial x} \right) + \frac{\partial}{\partial y} \left( k_y \frac{\partial H}{\partial y} \right) = C \frac{\partial H}{\partial t} - Q \quad -(13)$$

式(13)は線形弾性解析の場合と同じ形である。

ただし、塑性状態では

$$C = \frac{(1+\epsilon_0)\mu}{1+\epsilon_i} \left| \frac{\lambda}{(1+\epsilon_0)\mu} + \frac{\tau_{act}}{\sigma_m} \right|, \quad Q = C \frac{\partial \sigma_m}{\partial t} + \frac{(1+\epsilon_0)\mu}{1+\epsilon_i} \frac{1}{\sigma_m} \frac{\partial \tau_{act}}{\partial t}$$

弾性状態では

$$C = \frac{k}{1+\epsilon_i} \frac{1}{\sigma_m}, \quad Q = C \frac{\partial \sigma_m}{\partial t}$$

### 4. 解析例

本報告で提案した定式化をもとに作製したプログラムを片面排水の一次元問題に適用した結果を示す。Fig.2に解析断面、要素分割を、Table 1に物性値を示す。ただし地盤は  $K_0$  壓密が終了した状態にあり、初期間隙水圧分布は一様で  $5 t/m^2$  である。解析結果として Fig.3 に等時曲線を、Fig.4 に地表面の沈下性状を示す。

### 5. あとがき

本報告では、著者らが提案した圧密現象の解法に土の弾塑性構成則を導入した定式化を行った。解析の流れは弾性解析の場合となんら変わるとところではなくそのプログラムを多少修正するだけで利用できる。解析例として一次元問題を解いたわけであるが、この解法の威力が発揮されるのは多段圧密場においてであり、今後非排水状態の解析と関連して、この方面的解析を行なう予定である。

### 参考文献

- 1) 山上、植田：有限要素法による圧密現象の一解法、第13回土質工学会、1978.
- 2) 山上、植田：有限要素法による圧密現象の一解法（第3報）、第14回土質工学会、1979.
- 3) 太田：Analysis of Deformation of Soils Based on the Theory of Plasticity and its Application to Settlement of Embankment、京大学位論文、1971.

